

# ارزیابی ارتعاش تیرها با استفاده از چندجمله‌بی‌های متعامد مفسر

رحمان جعفری (دانشجوی کارشناسی ارشد)

علی فرازنده\* (دانشجوی کارشناسی ارشد)

علی نیکخو (استادیار)

دانشکده‌ی فنی و هندسی، دانشگاه علم و فرهنگ تهران

فیاض رحیم‌زاده رفوئی (استاد)

دانشکده‌ی هندسی عمران، دانشگاه صنعتی شریف

مهندسى عمران شرشف، (پاییز ۱۳۹۴/۱/۱۰)،  
دوری ۲-۱، شماره ۱/۲، ص. ۶۳-۷۲

در این نوشتار، معادلات دیفرانسیل حاکم بر ارتعاش تیر با نظریه‌های اولر - برنولی، تیموشنسکو و مرتبه - بالاتر تحت اثر جرم متوجه براساس اصل همیلتون به دست آمده است. به همین منظور با استفاده از توابع شکل چندجمله‌بی‌های متعامد مفسر و توابع مثلثاتی سازگار با شرایط مرزی، نسبت به تبدیل معادلات حاکم به معادلات دیفرانسیل معمولی در حوزه زمان اقدام شده است. برای بررسی درستی نتایج، بسامدهای ارتعاش آزاد تیر با نظریه‌های مختلف برای شرایط مرزی ساده و گیردار حاصل از روش پیشنهادی با نتایج ارائه شده توسط سایر پژوهشگران مورد مقایسه قرار گرفته است. همچنین، پاسخ دینامیکی تیرها با نظریه‌های مختلف تحت اثر بارگذاری جرم متوجه به ازاء مقادیر متفاوت لاغری تیر پایه به دست آمده و با نتایج سایر مطالعات مقایسه شده است.

r.jafari@usc.ac.ir  
a.farazandeh@usc.ac.ir  
nikkoo@usc.ac.ir  
rofooei@sharif.edu

وازگان کلیدی: چندجمله‌بی‌های متعامد مفسر، جرم متوجه، تیر اولر - برنولی، تیرهای با شکل پذیر برنشی، پاسخ دینامیکی.

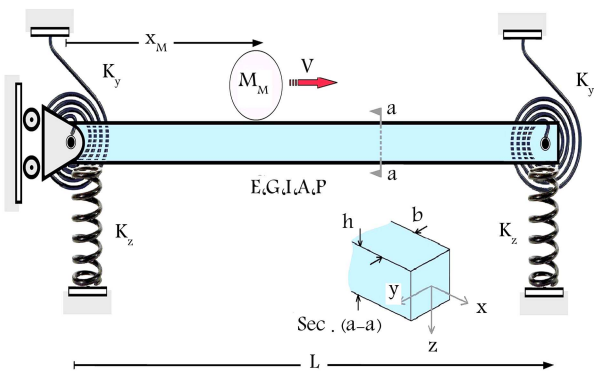
## ۱. مقدمه

تعیین رفتار دینامیکی تیرهای شکل پذیر برنشی همواره با مشکل همراه بوده است. این نقصان تا حد زیادی با استفاده از شیوه‌های عددی برطرف شده است؛ اما در هر صورت، این روش‌ها نیز پیچیدگی‌های خاص خود را دارند و استفاده از آنها مستلزم صرف هزینه و زمان است. در این رابطه، در پژوهشی در سال ۱۹۸۹<sup>۱</sup>، با استفاده از یک روش عددی به نام DET<sup>۲</sup>، به بررسی رفتار دینامیکی یک تیر اولر - برنولی<sup>۳</sup> با شرایط مختلف تکیه‌گاهی تحت اثر جرم متوجه پرداخته شده است. پژوهشگران پژوهش مذکور اثبات تغییرشکل برنشی تیرها در نظر گرفته نشده است. پژوهشگران دیگری نیز با استفاده از روش عددی DQM<sup>۴</sup>، به تحلیل ارتعاش آزاد و همچنین بررسی تغییرشکل‌ها و کمانش استاتیکی سازه‌های تیر و صفحه تحت شرایط مرزی مختلف پرداخته‌اند؛ اما به هر حال در کار ایشان، رفتار دینامیکی این سازه‌ها تحت بار خارجی بررسی نشده است.<sup>۵</sup> در مطالعه‌ی دیگری نیز به‌منظور تعیین پارامترهای کلیدی حاکم بر پاسخ‌های دینامیکی تیرهای ساده اولر - برنولی تحت اثر بارهای متوجه، از یک روش تحلیلی استفاده شده است.<sup>۶</sup> همچنین پژوهشگران دیگری با استفاده از روش DTM<sup>۷</sup>، بسامدهای طبیعی و شکل‌های مودی تیر تیموشنسکو<sup>۸</sup> را به صورت حل بسته‌ی سری ارائه کرده‌اند.<sup>۹</sup> در مطالعه‌ی دیگری نیز به‌کارگیری روش ADM<sup>۱۰</sup> به عنوان حل کننده‌ی قضیه‌ی مقدار - ویژه، مسائل ارتعاش آزاد تیرهای اولر - برنولی مختلف تحلیل و بررسی شده و بسامدهای طبیعی و شکل‌های مودی تیر با شرایط مرزی مختلف طبیعی و هندسی دارند. از طرفی، به‌کارگیری این روش‌ها در

به طور کلی، روش‌های به‌کار رفته در تحلیل رفتار دینامیکی تیرها به دو دسته‌ی تحلیلی/نیمه‌تحلیلی و عددی قابل تفکیک است. غالباً در مطالعات پژوهشگران، به‌منظور محاسبه‌ی بسامدهای طبیعی و شکل‌های مودی متوجه تیرها از روش‌های تحلیلی/نیمه‌تحلیلی شناخته شده‌ی چون گالرکین<sup>۱۱</sup> و رایلی - ریتز<sup>۱۲</sup> استفاده شده است. اصولاً این روش‌ها علی‌رغم سادگی و دقت بالا، محدودیت‌هایی در اعمال شرایط مرزی مختلف طبیعی و هندسی دارند. از طرفی، به‌کارگیری این روش‌ها در

\* نویسنده مسئول

تاریخ: دریافت ۷/۵/۱۳۹۲، اصلاحیه ۲۰/۱/۱۳۹۲، پذیرش ۲۱/۱۰/۱۳۹۲.



شکل ۱. شماتیک تیر تکدهانه ارتعاشی تحت بارگذاری جرم متحرک.

در معرض عبور جسمی متحرک با جرم  $M_M$  و سرعت ثابت  $V$  قرار گرفته است. تیر در یک انتهای به صورت محوری مغاید و در هر دو انتهای، به فنرهای محوری و چرخشی با ثابت‌های  $K_z$  و  $K_y$  متصل شده است. به منظور تبیین معادلات حاکم بر ارتعاش تیرهای اولر - برنولی، تیموشنکو و مرتبه - بالاتر و همچنین استخراج ماتریس‌های دینامیکی، دستگاه مختصات  $xyz$  به مركزیت انتهای سمت چپ تیر تعریف شده است. بر این اساس، محورهای  $x$ ,  $y$  و  $z$  به ترتیب موازی با راستای طولی تیر، پهنای تیر و شتاب جاذبه زمین در نظر گرفته شده‌اند. در ادامه، به منظور تعیین معادلات حاکم بر حرکت تیر تحت بارگذاری مدل جرم متحرک، از حالت کلی معادلات انرژی ارائه شده مطابق اصل همیلتون در مطالعه‌ی کیانی و همکاران،<sup>[۱۹]</sup> برای نظریه‌های مختلف استفاده شده است. سپس در هر نظریه، ماتریس‌های جرم، میرایی، سختی و نیرو به صورت مجزا به دست آمده‌اند.

### ۱.۱.۲. نظریه‌ی تیر اولر - برنولی

ساده‌ترین نظریه در میان نظریه‌های تیر، نظریه‌ی اولر - برنولی است، چراکه در آن از اثرات برشی صرف نظر می‌شود. به عبارت دیگر، فرض بر این است که صفحه‌ی عمود بر محور طولی تیر، بعد از تغییرشکل تیر به صورت راست و قائم بر آن محور باقی می‌ماند.<sup>[۲۰]</sup> به همین علت، یکانه مؤلفه‌ی مؤثر در تغییرشکل تیر، یک جا بجا باید در راستای قائم به صورت  $w(x, t)$  است.

از آنجایی که انرژی پتانسیل کل تیر ( $\pi_t$ )، معادل مجموع انرژی جنبشی ( $\pi_k$ )، انرژی ناشی از کرنش ارتعاشی ( $\pi_s$ ) و انرژی پتانسیل ناشی از حرکت جسم متحرک ( $\pi_f$ ) است، این عبارات به صورت روابط ۱ بیان می‌شوند:

$$\begin{aligned} \pi_t &= \pi_k + \pi_s + \pi_f \\ \pi_k &= \frac{1}{2} \int_0^L \rho [A(\dot{w})^2 + I(\dot{w}')^2] dx \\ \pi_s &= -\frac{1}{2} \int_0^L EI(w'')^2 dx - \frac{1}{2} \int_{\Gamma} [K_z w^2 + K_y (w')^2] d\Gamma \\ \pi_f &= \int_0^L M_M [g - (\ddot{w} + 2V\dot{w}' + V''w'')]_{x=x_M} \\ &\quad \times w(x_M, t) \delta(x - x_M) H(L - x_M) dx \end{aligned} \quad (1)$$

که در آن‌ها،  $x_M$  نشان‌دهنده‌ی مکان جسم در لحظه‌ی  $t$  است.  $\Gamma$  به ترتیب بیان‌گر شرایط مرزی وتابع دلتای دیباک است. شتاب جاذبه‌ی زمین معادل  $g = ۹,۸۱ \text{ m/s}^2$  و مقادیر  $H$  با استفاده از رابطه‌ی ۲ تعریف می‌شود. همچنین مقادیر  $K_y$  و  $K_z$  برای شرایط گوناگون تکیه‌گاهی در جدول ۱ ارائه شده است:

با اصلاح این روش، ضمن ارائه یک روش تقریبی جدید به نام MADM<sup>[۹]</sup> موفق به حل مسائل ارتعاش آزاد تیرهای یکنواخت تیموشنکو شدند.<sup>[۱۰]</sup> در مطالعه‌ی مشابه دیگری نیز با استفاده از روش VIM<sup>[۱۰]</sup>، اقدام به حل قضیه‌ی مقدار - ویره در مسئله‌ی ارتعاش آزاد تیر اولر - برنولی تحت شرایط انتهایی مختلف شده است.<sup>[۱۱]</sup>

از سوی دیگر، در سال ۱۹۸۵ روشی نیمه تحلیلی بر مبنای توابع متعامد به نام چندجمله‌ی‌های متعامد مفسر (COPs)<sup>[۱۲]</sup> برای تحلیل مسائل ارتعاش آزاد صفحه‌ی ارائه شده است.<sup>[۱۳]</sup> در آن برخلاف روش‌های عددی، توابع شکل مسئله بعد از ارضاء شرایط مرزی هندسی و طبیعی تیر به دست آمده است. مضاف بر این، در آنجا به دقت، کارآمدی و سادگی روش ارائه شده اشاره شده است که نهایتاً این امر موجب کاهش حجم محاسبات و افزایش سرعت عملیات ریاضی شده است. پژوهشگر دیگری بر مبنای روش مذکور توانست بسامدهای طبیعی و شکل‌های مودی یک تیر طره‌ی یکنواخت تحت اثر مجموعه‌ی از بازهای را به دست آورد و نشان دهد که با به کارگیری مجموعه‌ی دلخواه از چندجمله‌ی‌های ارضاء‌کننده‌ی شرایط مرزی به عنوان توابع شکل تیر، می‌توان محاسبات مربوط به بسامدهای طبیعی مرتبه‌های بالاتر را بدون هیچ مشکلی انجام داد.<sup>[۱۴]</sup>

همچنین، از میان کارهای شاخص صورت‌گرفته در این زمینه می‌توان به مطالعه‌ی دیگری اشاره کرد که در آن با به کارگیری مجموعه‌ی از چندجمله‌ی‌های متعامد مفسر مرزی، توابع شکل جایه‌جایی و چرخشی صفحات شکل پذیر بر بشی تخمین زده شده و نشان داده شده است که سهولت در تولید چنین توابعی به شدت در کارایی محاسبات تأثیر می‌گذارد.<sup>[۱۵]</sup> اخیراً در زمینه کاربرد چندجمله‌ی‌های متعامد در ارتعاش تیرها مطالعات موفقی انجام شده است که به ذکر قابلیت‌های توابع متعامد پرداخته شده است.<sup>[۱۶]</sup> نکته قابل توجه در مورد روش ذکر شده، محدودیت این روش در تحلیل تیرهای ضخیم و با تغییرشکل بر بشی است که در کلیه مطالعات اشاره شده و پژوهش‌های انجام شده توسط پژوهشگران، از بررسی آن صرف نظر شده است.

بر همین اساس، در این مطالعه، به منظور به کارگیری روش‌های ساده‌تر و جامع‌تر برای بررسی ارتعاش و رفتار دینامیکی تیرهای شکل پذیر بر بشی، از یک روش نیمه تحلیلی مبتنی بر چندجمله‌ی‌های متعامد مفسر و توابع مثلثاتی سازگار با شرایط مرزی استفاده شده است. در واقع با به کارگیری این روش می‌توان به دقت و سادگی روش‌های کاملاً تحلیلی و همچنین کاربرد پذیری روش‌های صرفاً عددی دست یافت. در ادامه، ماتریس‌های دینامیکی و معادلات حاکم بر حرکت تیرهای اولر - برنولی، تیموشنکو و مرتبه - بالاتر<sup>[۱۷]</sup> تحت بارگذاری مدل جرم متحرک با استفاده از اصل همیلتون<sup>[۱۸]</sup> به دست آمده و سپس، نسبت به تبدیل معادلات حاکم به معادلات دیفرانسیل معمولی اقدام شده است. در آخر، پس از بررسی دقت و نیز همگرایی روش ارائه شده در برآورد بسامدهای طبیعی تیر تحت نظریه‌ها و شرایط تکیه‌گاهی متداول، پاسخ دینامیکی تیرها در اثر بارگذاری یک جرم متحرک مورد مطالعه‌ی پارامتری قرار گرفته است.

## ۲. معادله‌ی دیفرانسیل حاکم بر مسئله

### ۲.۱. مدل‌سازی ریاضی

تیری یکنواخت و هموزن مطابق شکل ۱ به طول  $L$  با سطح مقطع  $A$ ، مدول  $I$  برای شرایط گوناگون تکیه‌گاهی در جدول ۱ ارائه شده است:

معادلات انرژی طبق اصل همیلتون به صورت معادلات ۵ به دست می‌آیند:

$$\begin{aligned} \pi_k &= \frac{1}{2} \int_0^L \rho [A(\dot{w})' + I(\dot{\theta})'] dx \\ \pi_s &= -\frac{1}{2} \int_0^L [EI\theta'' + K_s GA(w' - \theta)'] dx \\ &\quad - \frac{1}{2} \int_{\Gamma} [K_z w' + K_y \theta'] d\Gamma \\ \pi_f &= \int_0^L M_M [g - (\ddot{w} + V w' + V' w'')]_{x=x_M} \\ &\quad \times w(x_M, t) \delta(x - x_M) H(L - x_M) dx \end{aligned} \quad (5)$$

که در آن‌ها،  $K_s$  ضریب اصلاح برشی مختص نظریه‌ی تیر تیموشنسکو است.

در تحلیل تیر تیموشنسکو برای تعیین مقادیر مجهولات معادلات ۵، یعنی میدان جابجایی و چرخشی  $w$  و  $\theta$ ، از روابط ۶ استفاده می‌شود:

$$\begin{aligned} w(x, t) &= \sum_{j=1}^N \varphi_j(x) w_j(t) \\ \theta(x, t) &= \sum_{j=1}^N \psi_j(x) \theta_j(t) \end{aligned} \quad (6)$$

که در آن‌ها، توابع شکل  $(x) \varphi_j$  و  $(x) \psi_j$  طبق روش ارائه شده در بخش ۲.۲. برای شرایط نکیه‌گاهی متفاوت و نظریه‌های مختلف قابل محاسبه‌اند. تعیین مقادیر  $w_j(t)$  و  $\theta_j(t)$  مستلزم حل معادله‌ی ۳ است، که روش محاسبه در بخش ۳.۲. توضیح داده شده است. در این معادله، ماتریس‌های دینامیکی تیر تیموشنسکو به صورت مجموعه روابط ۷ بیان می‌شوند:

$$\begin{aligned} \mathbf{M} &= \begin{bmatrix} \mathbf{M}^{ww} & \mathbf{M}^{w\theta} \\ \mathbf{M}^{\theta w} & \mathbf{M}^{\theta\theta} \end{bmatrix}, \quad \mathbf{C} = \begin{bmatrix} \mathbf{C}^{ww} & \mathbf{C}^{w\theta} \\ \mathbf{C}^{\theta w} & \mathbf{C}^{\theta\theta} \end{bmatrix} \\ \mathbf{K} &= \begin{bmatrix} \mathbf{K}^{ww} & \mathbf{K}^{w\theta} \\ \mathbf{K}^{\theta w} & \mathbf{K}^{\theta\theta} \end{bmatrix}, \quad \mathbf{f} = \begin{bmatrix} \mathbf{f}^w \\ \mathbf{f}^\theta \end{bmatrix}, \quad [\mathbf{x}]_j = \begin{cases} w_j(t) \\ \theta_j(t) \end{cases} \end{aligned} \quad (7)$$

که در آن، زیر-ماتریس‌های غیر صفر به صورت مجموعه روابط ۸ تعریف می‌شود:

$$\begin{aligned} [\mathbf{M}^{ww}]_{ij} &= \int_0^L \rho A \varphi_i \varphi_j dx + M_M \varphi_i(x_M) \varphi_j(x_M) H(L - x_M) \\ [\mathbf{M}^{\theta\theta}]_{ij} &= \int_0^L \rho I \psi_i \psi_j dx \\ [\mathbf{C}^{ww}]_{ij} &= 2 M_M V \varphi_i(x_M) \varphi'_j(x_M) H(L - x_M) \\ [\mathbf{K}^{ww}]_{ij} &= \int_0^L K_s G A \varphi'_i \varphi'_j dx \\ &\quad + M_M V' \varphi_i(x_M) \varphi''_j(x_M) H(L - x_M) \end{aligned}$$

$$\begin{aligned} [\mathbf{K}^{w\theta}]_{ij} &= - \int_0^L K_s G A \varphi'_i \psi_j dx \\ [\mathbf{K}^{\theta w}]_{ij} &= \int_0^L K_s G A \psi'_i \varphi_j dx \\ [\mathbf{K}^{\theta\theta}]_{ij} &= \int_0^L (K_s G A \psi_i \psi_j + E I \psi'_i \psi'_j) dx \\ [\mathbf{f}^w]_j &= M_M g \varphi_j(x_M) H(L - x_M) \end{aligned} \quad (8)$$

جدول ۱. مقادیر  $K_y$  و  $K_z$  برای شرایط نکیه‌گاهی تیرها.

انتهای گیردار	انتهای ساده	شرایط نکیه‌گاهی
$K_y$	$\infty$	$\infty$
$K_z$	$\circ$	$\infty$

$$H(x) = \begin{cases} 0 & x < 0 \\ 0.5 & x = 0 \\ 1 & x > 0 \end{cases} \quad (2)$$

نکته قابل ذکر در مورد کلیه معادلات ارائه شده در این پژوهش این است که منظور از " و " به ترتیب مشتق اول و مشتق دوم توابع نسبت به  $x$  و منظور از " و " به ترتیب مشتق اول و مشتق دوم توابع نسبت به  $t$  یا زمان است.

نتها پارامتر مجهول روابط ۱، یعنی  $w(x, t)$ ، با استفاده از رابطه‌ی  $w(x, t) = \sum_{j=1}^N \varphi_j(x) w_j(t)$  بسط داده می‌شود که در آن  $(x) \varphi_j$  تابع تغییرشکل مود زام است، که مطابق روش ارائه شده در بخش ۲.۲. قابل محاسبه است.  $N$  تعداد توابع شکل لازم برای تحلیل تیر است. همچنین در این رابطه، برای به دست آوردن مقادیر  $w_j$  نیاز به حل معادله‌ی دیفرانسیلی در رابطه‌ی ۳ است، که روند حل در بخش ۳.۲. شرح داده شده است:

$$\mathbf{M} \ddot{\mathbf{x}} + \mathbf{C} \dot{\mathbf{x}} + \mathbf{K} \mathbf{x} = \mathbf{f} \quad (3)$$

که در آن، عبارات متناظر با ماتریس‌های جرم ( $\mathbf{M}$ )، میرایی القابی ( $\mathbf{C}$ )، سختی ( $\mathbf{K}$ ) و نیرو ( $\mathbf{f}$ ) به صورت مجموعه روابط ۴ است:

$$\begin{aligned} [\mathbf{M}]_{ij} &= \int_0^L \rho (A \varphi_i \varphi_j + I \varphi'_i \varphi'_j) dx \\ &\quad + M_M \varphi_i(x_M) \varphi_j(x_M) H(L - x_M) \\ [\mathbf{C}]_{ij} &= 2 M_M V \varphi_i(x_M) \varphi'_j(x_M) H(L - x_M) \\ [\mathbf{K}]_{ij} &= \int_0^L E I \varphi''_i \varphi''_j dx \\ &\quad + M_M V' \varphi_i(x_M) \varphi''_j(x_M) H(L - x_M) \\ [\mathbf{f}]_j &= M_M g \varphi_j(x_M) H(L - x_M) \\ [\mathbf{x}]_j &= w_j(t) \end{aligned} \quad (4)$$

## ۲.۱. نظریه‌ی تیر تیموشنسکو

در تحلیل تیر تیموشنسکو برخلاف نظریه‌ی تیر اولر - برنولی، تغییرشکل‌های ناشی از کرنش برشی و اینرسی دورانی در نظر گرفته می‌شود. به عبارتی، بعد از تغییرشکل تیر، فرض عمده‌بودن صفحه‌ی جابجایی بر محور طولی تیر دیگر رعایت نمی‌شود؛ اما این صفحه هم‌چنان به صورت راست و بدون اعوجاج می‌ماند.<sup>[۱۰]</sup> از این رو، تغییرشکل تیر به صورت یک میدان جابجایی در راستای قائم مانند  $w(x, t)$  و یک میدان چرخشی به شکل  $\theta(x, t)$  لحاظ می‌شود. برای استخراج ماتریس‌های دینامیکی،

که در آن‌ها، زیر- ماتریس‌های غیر صفر دینامیکی به صورت مجموعه روابط ۱۳ استخراج می‌شوند:

$$\begin{aligned}
[\mathbf{M}^{ww}]_{ij} &= \int_0^L (\mathbf{I}_w \varphi_i \varphi_j + \alpha^\top \mathbf{I}_s \varphi'_i \varphi'_j) dx \\
&\quad + M_M \varphi_i(x_M) \varphi_j(x_M) H(L - x_M) \\
[\mathbf{M}^{w\Psi}]_{ij} &= \int_0^L (\alpha^\top \mathbf{I}_s - \alpha \mathbf{I}_r) \varphi'_i \psi_j dx \\
[\mathbf{M}^{\Psi w}]_{ij} &= - \int_0^L (\alpha^\top \mathbf{I}_s - \alpha \mathbf{I}_r) \psi_i' \varphi_j dx \\
[\mathbf{M}^{\Psi\Psi}]_{ij} &= \int_0^L (I_r - \gamma \alpha \mathbf{I}_r + \alpha^\top \mathbf{I}_s) \psi_i \psi_j dx \\
[\mathbf{C}^{ww}]_{ij} &= \gamma M_M V \varphi_i(x_M) \varphi'_j(x_M) H(L - x_M) \\
[\mathbf{K}^{ww}]_{ij} &= \int_0^L (k \varphi'_i \varphi'_j + \alpha^\top J_s \varphi''_i \varphi''_j) dx \\
&\quad + M_M V^\top \varphi_i(x_M) \varphi''_j(x_M) H(L - x_M) \\
[\mathbf{K}^{w\Psi}]_{ij} &= \int_0^L [k \varphi'_i \psi_j + (\alpha^\top J_s - \alpha J_r) \varphi''_i \psi'_j] dx \\
[\mathbf{K}^{\Psi w}]_{ij} &= - \int_0^L [k \psi'_i \varphi_j + (\alpha^\top J_s - \alpha J_r) \psi''_i \varphi'_j] dx \\
[\mathbf{K}^{\Psi\Psi}]_{ij} &= \int_0^L [(J_r - \gamma \alpha J_r + \alpha^\top J_s) \psi'_i \psi'_j + k \psi_i \psi_j] dx \\
[\mathbf{f}^w]_j &= M_M g \varphi_j(x_M) H(L - x_M) \tag{13}
\end{aligned}$$

٢٠٢ . تعیین توابع شکل

در این بخش، برای تعیین تابع شکل مسئله از روشی مبتنی بر چندجمله‌ی های معتماد مفسر استفاده شده است.<sup>[۲۱]</sup> طبق این روش، برای تعیین تابع شکل  $(x)$  و  $(x)$  در تیرهای اول - بروولی، یتیموشکو و مرتبه - بالاتر، باید یک تابع شکل اولیه‌ی ارضاء‌کننده‌ی شرایط مرزی هندسی و طبیعی تیر به صورت  $(x)$  و  $\psi(x)$  و  $\varphi(x)$  در جدول ۲، تابع شکل  $(x)$ ،  $\varphi(x)$  و  $\psi(x)$  برای تیرهای مذکور و تحت حدس زد. در جدول ۳، تابع شکل  $(x)$ ،  $\varphi(x)$  و  $\psi(x)$  برای تیرهای مذکور و تحت شرایط تکیه‌گاهی متدالو ساده - ساده، گیردار - گیردار و گیردار - ساده ارائه شده است. در جدول مذکور تابع شکل جایی  $(x)$ ، به صورت تابع چندجمله‌ی از مرتبه‌ی چهار و تابع شکل چرخشی  $(x)$ ، به صورت تابع مثلثاتی سازگار با شرایط مرزی هستند. بر مبنای روش چندجمله‌ی های معتماد مفسر، حصول جواب دقیق مسئله از طریق افزایش تعداد تابع شکل تیر صورت می‌گیرد. در اینجا، این کار با روند گرم - اشمیت<sup>[۲۲]</sup> انجام گرفته است. براساس این روش، تابع شکل مرتبه - بالاتر، مطالقه، وابط ۱۴ و ۱۵ تولید شود.

$$\varphi_{\mathfrak{r}}(x) = (x - B_{\mathfrak{r}})\varphi_{\mathfrak{v}}(x)$$

$$\varphi_N(x) = (x - B_N)\varphi_{N-1}(x) - C_N \varphi_{N-\mathfrak{r}}(x) \quad (\text{14})$$

که در آن،  $N$  تعداد چندجمله‌بی‌های لازم برای ایجاد دقیق موردنیاز در جواب مسئله است. همچنین:

$$B_N = \frac{\int_{\circ}^L x [\varphi_{N-1}(x)]^r W(x) dx}{\int_{\circ}^L [\varphi_{N-1}(x)]^r W(x) dx}$$

$$C_N = \frac{\int_{\circ}^L x \varphi_{N-1}(x) \varphi_{N-1}(x) W(x) dx}{\int_{\circ}^L [\varphi_{N-1}(x)]^r W(x) dx} \quad (\text{15})$$

۳.۱.۲. نظریه‌ی تیر برشی مرتبه - بالاتر  
در این نظریه، اغلب محدودیت‌های مربوط به فرضیات نظریه‌ی تیر اولر - بروزی بر طرف شده است. به عبارت دیگر، بعد از تغییرشکل تین صفحه‌ی جایه‌جایی چهار اعوجاج می‌شود و دیگر قائم بر محور طولی تیر نیست. در تحلیل تیر برشی مرتبه - بالاتر، تغییرات ناشی از کرنش برشی و اینرسی دورانی با دقت بالاتری نسبت به نظریه‌ی تیوشنکو اعمال می‌شود. به همین علت، جایه‌جایی محوری تیر با توابع مرتبه‌ی سوم یا پنجم و جایه‌جایی جانی با توابع مرتبه‌ی دوم یا سوم بیان می‌شود.<sup>[۲۰]</sup>  
در این نظریه، تغییرشکل تیر نیز شامل یک میدان جابجایی در راستای قائم به شکل  $w(x, t)$  و یک میدان چرخشی به صورت  $\Psi(x, t)$  است. در اینجا نیز به منظور دست‌یابی به ماتریس‌های دینامیکی، از معادلات انرژی به دست آمده در مجموعه روابط<sup>۹</sup> استفاده شده است:

$$\begin{aligned}\pi_k &= \frac{1}{\gamma} \int_0^L \left[ I_s \dot{w} + I_r \dot{\Psi} - \gamma \alpha I_r \dot{\Psi} (\dot{\Psi} + \dot{w}') + \alpha' I_r (\dot{\Psi} + \dot{w}') \right] dx \\ \pi_s &= -\frac{1}{\gamma} \int_0^L \left[ J_r \Psi' - \gamma \alpha J_r \Psi' (\Psi' + w'') + \alpha' J_r (\Psi' + w'') + k(\Psi + w') \right] dx \\ &\quad - \frac{1}{\gamma} \int_{\Gamma} \left[ K_z w + K_y \Psi \right] d\Gamma \\ \pi_f &= \int_0^L M_M \left[ g - (\ddot{w} + \gamma V \dot{w}' + V' w'') \right]_{x=x_M} dx \\ &\quad \times w(x_M, t) \delta(x - x_M) H(L - x_M) dx\end{aligned}\quad (4)$$

که در آن  $\alpha = \frac{4}{3}h^2$  و  $h$  ضخامت مقطع تیر است. مضاف بر این از مجموعه روابط ۱۰ نیز استفاده می‌شود:

$$\begin{aligned} k &= \int_A G(1 - \Re \alpha z^\tau) dA \\ I_n &= \int_A \rho z^n dA; \quad n = 0, 1, 2, 3 \\ J_n &= \int_A E z^n dA; \quad n = 1, 2, 3 \end{aligned} \quad (10)$$

همچنین،  $w$  و  $\Psi$  به صورت روابط ۱۱ قابل تجزیه هستند:

$$w(x, t) = \sum_{j=1}^N \varphi_j(x) w_j(t)$$

$$\Psi(x, t) = \sum_{j=1}^N \psi_j(x) \Psi_j(t) \quad (11)$$

که در آن‌ها، توابع شکل  $(x)\varphi_j$  و  $(x)\psi_j$  مطابق روش ارائه شده در بخش ۲.۲ به دست می‌آیند.  $(t)w_j$  و  $(t)\Psi_j$  از حل معادله‌ی دیفرانسیل ۳ به دست می‌آیند، که روش حل در بخش ۳.۲ به تفصیل بیان شده است. از طرفی، ماتریس‌های دینامیکی معادله‌ی ۳ در تیر مرتبه - بالاتر به صورت مجموعه روابط ۱۲ تعریف شوند:

$$\mathbf{M} = \begin{bmatrix} \mathbf{M}^{ww} & \mathbf{M}^{w\Psi} \\ \mathbf{M}^{\Psi w} & \mathbf{M}^{\Psi\Psi} \end{bmatrix}, \quad \mathbf{C} = \begin{bmatrix} \mathbf{C}^{ww} & \mathbf{C}^{w\Psi} \\ \mathbf{C}^{\Psi w} & \mathbf{C}^{\Psi\Psi} \end{bmatrix}$$

$$\mathbf{K} = \begin{bmatrix} \mathbf{K}^{ww} & \mathbf{K}^{w\Psi} \\ \mathbf{K}^{\Psi w} & \mathbf{K}^{\Psi\Psi} \end{bmatrix}, \quad \mathbf{f} = \begin{bmatrix} \mathbf{f}^w \\ \mathbf{f}^\Psi \end{bmatrix}, \quad [\mathbf{x}]_j = \left\{ \begin{array}{l} w_j(t) \\ \Psi_j(t) \end{array} \right\}$$

(12)

## جدول ۲. توابع شکل (۲۱) و (۲۲) تیرهای اولر - برنولی و شکل پذیر برشی (تیموشنکو و مرتبه - بالاتر) تحت شرایط تکیه‌گاهی مختلف.

ساده - گیردار	گیردار - گیردار	ساده - ساده
$\varphi_1 = \frac{1/5^{1/2}}{\sqrt{L}} \left[ 1/5 \left( \frac{x}{L} \right)^2 - 2/5 \left( \frac{x}{L} \right)^3 + \left( \frac{x}{L} \right)^4 \right]$ $\psi_1 = \sqrt{\frac{1}{L}} \sin\left(\frac{\pi x}{L}\right)$	$\varphi_1 = \frac{1/5^{1/2}}{\sqrt{L}} \left[ \left( \frac{x}{L} \right)^2 - 2 \left( \frac{x}{L} \right)^3 + \left( \frac{x}{L} \right)^4 \right]$ $\psi_1 = \sqrt{\frac{1}{L}} \sin\left(\frac{1\pi x}{L}\right)$	$\varphi_1 = \frac{1/5^{1/2}}{\sqrt{L}} \left[ \left( \frac{x}{L} \right)^2 - 2 \left( \frac{x}{L} \right)^3 + \left( \frac{x}{L} \right)^4 \right]$ $\psi_1 = \sqrt{\frac{1}{L}} \cos\left(\frac{\pi x}{L}\right)$

و جایگذاری آن‌ها در معادله‌ی ۲۰، رابطه‌ی ۲۲ به دست می‌آید:

$$\mathbf{X}(t) = \mathbf{U}(t) \mathbf{X}(t_0). \quad (22)$$

و برای محاسبه‌ی  $\mathbf{U}(t)$  از ماتریس انتقالی  $\Phi$  (رابطه‌ی ۲۳) استفاده می‌شود:

$$\Phi(t, \tau) \approx \mathbf{U}(t) \mathbf{U}^{-1}(\tau) \quad (23)$$

و در نتیجه رابطه‌ی ۲۴ به دست می‌آید:

$$\mathbf{X}(t) = \Phi(t, \tau) \mathbf{X}(\tau) \quad (24)$$

با استفاده از حل تقریبی ارائه شده در منبع [۲۲] مقدار  $\Phi$  توسط یک ماتریس نمایی (رابطه‌ی ۲۵) جایگذاری می‌شود:

$$\Phi(t_{k+1}, t_k) = e^{\mathbf{A}(t_k) \Delta(t_k)} \quad (25)$$

که در آن،  $\Delta t_k = t_{k+1} - t_k$  یک گام زمانی کوچک در نظر گرفته می‌شود. بنابراین، معادله‌ی ۱۸ با فرض موجود بودن  $(\mathbf{A}^{-1}(t_k))$  به رابطه‌ی ۲۶ تبدیل می‌شود:

$$\mathbf{X}(t_{k+1}) = \mathbf{A}_1(t_k) \mathbf{X}(t_k) + \mathbf{F}_1(t_k) \quad (26)$$

به طوری که  $\mathbf{A}_1(t_k)$  و  $\mathbf{F}_1(t_k)$  از رابطه‌ی ۲۷ محاسبه می‌شوند:

$$\mathbf{A}_1(t_k) \cong e^{\mathbf{A}(t_k) \Delta(t_k)}$$

$$\mathbf{F}_1(t_k) \cong [\mathbf{A}_1(t_k) - \mathbf{I}] \mathbf{A}^{-1}(t_k) \mathbf{F}(t_k) \quad (27)$$

نهایتاً با حل عددی معادله‌ی ۲۶، می‌توان مقدار  $\mathbf{X}(t)$  را در هر لحظه‌ی از زمان به دست آورد. در واقع، یافتن این مقدار منجر به تعیین  $x(t)$  یا همان مجهول اصلی ذکر شده در بخش ۱.۲.  $w_j(t)$  و  $\Psi_j(t)$  می‌شود.

### ۳. مطالعات پارامتری

#### ۱. مثال ۱.

در این مثال، یک تیر دو سر ساده و یک تیر دو سر گیردار تک‌دهانه‌ی یکنواخت به‌منظور بررسی دقت و کارایی روش ارائه شده در محاسبه‌ی بسامدهای طبیعی تیرها (۲۱) در نظر گرفته شده است. بر این اساس، ابتدا نزخ همگرایی روش حاضر در تعیین بسامدهای بدون بعد  $(\lambda_n)$  تیرهای اولر - برنولی، تیموشنکو و مرتبه - بالاتر تحت شرایط تکیه‌گاهی مذکور و نسبت ارتفاع به طول دهانه‌ی تیر مساوی  $h/L = 0.01$  (مورد آزمایش قرار گرفته و سپس به منظور صحبت‌سنگی نتایج، بسامدهای بدون بعد تیر تیموشنکو به ازاء نسبت‌های مختلف ارتفاع به طول دهانه‌ی تیر، با مقادیر متناظر در منبع [۲۲]، که بر مبنای یک روش نیمه‌تحلیلی به نام روش شبیه‌سی به دست آمده است، مقایسه شده‌اند. برای محاسبه‌ی بسامدهای بدون بعد

که در آن،  $(x)$  یک تابع وزن است. این تذکر لازم است که تابع چندجمله‌ی توپولیشدۀ توسط این روند متعامد هستند (رابطه‌ی ۱۶):

$$\int_0^L \varphi_i(x) \varphi_j(x) W(x) dx = \begin{cases} 0 & \text{if } i \neq j \\ \neq 0 & \text{if } i = j \end{cases} \quad (16)$$

نکته‌ی حائز اهمیت در ساخت تابع شکل مرتبه - بالاتر تابع  $(\psi)$ ، این است که برای به‌کارگیری روند گرم - اشمیت، ابتدا لازم است بسط مکلورن این تابع به دست آید (شش جمله‌ی اول کافی است)، سپس با استفاده از روابط ۱۴ و ۱۵، تابع شکل مرتبه - بالاتر  $(x)$   $\psi$  همانند تابع  $(x)$   $\varphi$  تولید شود.

### ۲. حل معادلات دیفرانسیل در حوزه‌ی زمان

همان‌طور که در بخش ۱.۲ ذکر شد، برای یافتن میدان‌های جایه‌جایی و چرخشی تیر در حوزه‌ی زمان، نیاز به حل معادله‌ی دیفرانسیل حرکت است. اگر معادله‌ی کلی حرکت به صورت رابطه‌ی ۱۷ فرض شود:

$$\mathbf{M}(t) \ddot{\mathbf{x}}(t) + \mathbf{C}(t) \dot{\mathbf{x}}(t) + \mathbf{K}(t) \mathbf{x}(t) = \mathbf{f}(t) \quad (17)$$

آن‌گاه برای سهولت حل، آن را به فضای حالت انتقال می‌دهند و سپس معادله به صورت رابطه‌ی ۱۸ بازنویسی می‌شود:

$$\dot{\mathbf{X}}(t) = \mathbf{A}(t) \mathbf{X}(t) + \mathbf{F}(t) \quad (18)$$

که در آن،  $(\mathbf{F}(t), \mathbf{A}(t), \mathbf{X}(t))$  از روابط ۱۹ به دست می‌آید:

$$\begin{aligned} \mathbf{X}(t) &= \begin{bmatrix} \mathbf{x}(t) \\ \dot{\mathbf{x}}(t) \end{bmatrix}, \\ \mathbf{A}(t) &= \begin{bmatrix} \mathbf{0} & \mathbf{I} \\ -\mathbf{M}^{-1}\mathbf{K} & -\mathbf{M}^{-1}\mathbf{C} \end{bmatrix}, \\ \mathbf{F}(t) &= \begin{bmatrix} \mathbf{0} \\ -\mathbf{M}^{-1}\mathbf{f} \end{bmatrix} \end{aligned} \quad (19)$$

در حقیقت با تعیین مقدار بردار حالت  $(\mathbf{X}(t))$ ، می‌توان به دامنه‌ی تغییرشکل تیر و همچنین سرعت متناظر با آن دست یافت. در زیر، توضیحات تکمیلی در رابطه با نحوه‌ی به دست آمدن  $(\mathbf{X}(t))$  ارائه شده است. اگر رابطه‌ی ۲۰ به صورت رابطه‌ی ۲۰ باشد:

$$\mathbf{X}(t) = \mathbf{U}(t) \mathbf{U}^{-1}(t_0) \mathbf{X}(t_0) + \int_{t_0}^t \left\{ \mathbf{U}(t) \mathbf{U}^{-1}(\tau) [\mathbf{F}(\tau)] \right\} d\tau \quad (20)$$

آن‌گاه،  $(\mathbf{U}(t))$  یک ماتریس تبدیل بنیادی است و با استفاده از رابطه ۲۱:

$$\dot{\mathbf{U}}(t) = \mathbf{A}(t) \mathbf{U}(t), \quad \mathbf{U}(t_0) = \mathbf{I}_{\mathfrak{N}}. \quad (21)$$

جدول ۵. آزمون همگرایی پنج  $\lambda_n$  اول - تیر دوسرگیردار مرتبه بالاتر.

تعداد توابع شکل						$\lambda_n$
۱۵	۱۳	۱۰	۷	۵		
۴,۷۲۹	۴,۷۲۹	۴,۷۲۹	۴,۷۲۹	۴,۷۲۹	( $\lambda_n$ ) <sub>۱</sub>	
۷,۸۴۹	۷,۸۴۹	۷,۸۴۹	۷,۸۴۹	۷,۸۷۳	( $\lambda_n$ ) <sub>۲</sub>	
۱۰,۹۸۷	۱۰,۹۸۶	۱۰,۹۸۷	۱۰,۹۹۱	۱۱,۱۶۰	( $\lambda_n$ ) <sub>۳</sub>	
۱۴,۱۱۹	۱۴,۱۱۹	۱۴,۱۲۰	۱۴,۲۴۸	۱۵,۶۹۶	( $\lambda_n$ ) <sub>۴</sub>	
۱۷,۲۵۰	۱۷,۲۴۸	۱۷,۲۵۷	۱۸,۴۱۰	۵۲,۲۹۹	( $\lambda_n$ ) <sub>۵</sub>	

جدول ۶. آزمون همگرایی پنج  $\lambda_n$  اول - تیر دوسرساده اولر - برنولی.

تعداد توابع شکل						$\lambda_n$
۱۵	۱۳	۱۰	۷	۵		
۳,۱۴۲	۳,۱۴۲	۳,۱۴۲	۳,۱۴۲	۳,۱۴۲	( $\lambda_n$ ) <sub>۱</sub>	
۶,۲۸۳	۶,۲۸۳	۶,۲۸۳	۶,۲۸۳	۶,۲۸۵	( $\lambda_n$ ) <sub>۲</sub>	
۹,۴۲۳	۹,۴۲۳	۹,۴۲۳	۹,۴۲۳	۹,۴۵۷	( $\lambda_n$ ) <sub>۳</sub>	
۱۲,۵۶۲	۱۲,۵۶۲	۱۲,۵۶۲	۱۲,۷۱۶	۱۵,۶۳۱	( $\lambda_n$ ) <sub>۴</sub>	
۱۵,۷۰۰	۱۵,۷۰۰	۱۵,۷۱۹	۱۶,۱۳۲	۲۱,۳۰۶	( $\lambda_n$ ) <sub>۵</sub>	

جدول ۷. آزمون همگرایی پنج  $\lambda_n$  اول - تیر دوسرساده تیموشنکو.

تعداد توابع شکل						$\lambda_n$
۱۵	۱۳	۱۰	۷	۵		
۳,۱۴۱	۳,۱۴۱	۳,۱۴۱	۳,۱۴۱	۳,۱۴۱	( $\lambda_n$ ) <sub>۱</sub>	
۶,۲۸۲	۶,۲۸۲	۶,۲۸۲	۶,۲۸۲	۶,۲۹۱	( $\lambda_n$ ) <sub>۲</sub>	
۹,۴۲۱	۹,۴۲۱	۹,۴۲۱	۹,۴۲۲	۹,۵۵۰	( $\lambda_n$ ) <sub>۳</sub>	
۱۲,۵۵۸	۱۲,۵۵۸	۱۲,۵۵۸	۱۳,۲۱۷	۳۶,۹۵۳	( $\lambda_n$ ) <sub>۴</sub>	
۱۵,۶۹۰	۱۵,۶۹۰	۱۵,۷۳۶	۱۷,۶۹۳	۴۷,۶۳۵	( $\lambda_n$ ) <sub>۵</sub>	

جدول ۸. آزمون همگرایی پنج  $\lambda_n$  اول - تیر دوسرساده مرتبه بالاتر.

تعداد توابع شکل						$\lambda_n$
۱۵	۱۳	۱۰	۷	۵		
۳,۱۴۱	۳,۱۴۱	۳,۱۴۱	۳,۱۴۱	۳,۱۴۱	( $\lambda_n$ ) <sub>۱</sub>	
۶,۲۸۳	۶,۲۸۳	۶,۲۸۳	۶,۲۸۲	۶,۲۹۰	( $\lambda_n$ ) <sub>۲</sub>	
۹,۴۲۴	۹,۴۲۴	۹,۴۲۴	۹,۴۲۳	۹,۵۳۱	( $\lambda_n$ ) <sub>۳</sub>	
۱۲,۵۶۴	۱۲,۵۶۴	۱۲,۵۶۴	۱۳,۱۱۳	۳۴,۹۷۹	( $\lambda_n$ ) <sub>۴</sub>	
۱۵,۶۰۰	۱۵,۶۰۰	۱۵,۷۶۰	۱۷,۳۹۱	۴۵,۰۸۲	( $\lambda_n$ ) <sub>۵</sub>	

نتایج حاصل از به کارگیری ۳۵ تابع شکل چیشیف<sup>[۲۱]</sup> در روش شبیه طیفی<sup>[۲۲]</sup> تحت شرایط تکیه گاهی دو سرساده و دو سرگیردار به ترتیب در جدول های ۹ و ۱۰ ارائه شده است. همانگونه که مشخص است، این نتایج، علی‌رغم به کارگیری تعداد توابع شکل کمتر در مقابل روش شبیه طیفی، تطابق قابل قبولی با نتایج مطالعه‌ی مذکور<sup>[۲۳]</sup> دارد.

### ۲.۳. مثال ۲.

در این مثال به بررسی و تحلیل رفتار دینامیکی تیرهای اولر - برنولی، تیموشنکو و مرتبه بالاتر تحت اثر یک جرم متحرک پرداخته شده است. ازین‌رو، تیری تک‌دنه،  $r = h = r\sqrt{12}$  متر، با مقطع مستطیلی شکل به ابعاد  $1\text{ m} \times 0.5\text{ m}$  و  $b = 0.5\text{ m}$ .

تیر، ابتدا نیاز به تعیین بسامدهای طبیعی تیر است که در این راستا می‌توان از رابطه‌ی  $x(t) = \tilde{x} e^{i\omega t}$  استفاده کرد. به این منظور، با جایگذاری این رابطه در معادله‌ی ۳ و همچنین با فرض ارتعاش آزاد تیر بدون میرایی، معادله‌ی مقدار - ویژه ۲۸ حاصل شده است:

$$(\mathbf{K} - \omega^2 \mathbf{M}) \tilde{\mathbf{x}} = 0 \quad (28)$$

با حل معادله‌ی ۲۸ از طریق روش‌های مرسوم، مقادیر ویژه و بردارهای ویژه متناظر به دست خواهد آمد، که مقادیر ویژه بیانگر بسامدهای طبیعی سازه هستند و بردارهای ویژه، معرف مودهای ارتعاش آزاد متناظر بسامدهای طبیعی هستند. در نهایت، با جایگذاری بسامدهای طبیعی به دست آمده در رابطه‌ی ۲۹، مقادیر بسامد بدون بعد متناظر با نامین مود ارتعاشی تیر به دست می‌آید:

$$(\lambda_n)_i = \left( \omega_i L \sqrt{\frac{m}{EI}} \right)^{1/2} \quad (29)$$

دیگر فرضیات مورد نیاز برای حل معادله‌ی ۳۰ عبارت است از:  $m = \rho b h$  و  $G = ۱,۱ \times 10^{11} \text{ N.m}^{-2}$ ،  $E = ۲,۱ \times 10^{11} \text{ N.m}^{-2}$  و  $\rho = ۷۸۰۰ \text{ kg.m}^{-3}$ . عرض مقطع است که می‌تواند برابر هر مقدار دلخواهی باشد. همچنین در اینجا، ضریب اصلاح برشی تیر تیموشنکو ( $K_s$ ) برای مقطع مستطیلی برابر  $833/800$  فرض می‌شود. در جدول‌های ۳ تا ۵، نتایج مربوط به ۵ بسامد بدون بعد اول تیرهای اولر - برنولی، تیموشنکو و مرتبه - بالاتر تحت شرایط تکیه گاهی گیردار - گیردار برای تعداد توابع شکل مختلف ارائه شده است. همچنین، این نتایج برای شرایط تکیه گاهی ساده - ساده در جدول‌های ۶ تا ۸ به دست آمده است. همان‌طور که مشاهده می‌شود، سرعت همگرایی نتایج به دست آمده طبق روش ارائه شده در مطالعه حاضر مطلوب است؛ زیرا با استفاده از ۱۳ تابع شکل، همگرایی لازم (تا سه رقم اعشار) به دست آمده است.

مضاف براین، نتایج به دست آمده توسط ۱۳ تابع شکل برای ۵ بسامد بدون بعد اول تیر تیموشنکو با نسبت‌های متفاوت ارتفاع به طول دهانه تیر، جهت مقایسه با

جدول ۳. آزمون همگرایی پنج  $\lambda_n$  اول - تیر دوسرگیردار اولر - برنولی.

تعداد توابع شکل						$\lambda_n$
۱۵	۱۳	۱۰	۷	۵		
۴,۷۳۰	۴,۷۳۰	۴,۷۳۰	۴,۷۳۰	۴,۷۳۰	( $\lambda_n$ ) <sub>۱</sub>	
۷,۸۵۲	۷,۸۵۲	۷,۸۵۲	۷,۸۵۲	۷,۸۵۴	( $\lambda_n$ ) <sub>۲</sub>	
۱۰,۹۹۳	۱۰,۹۹۳	۱۰,۹۹۳	۱۰,۹۹۳	۱۱,۰۰۴	( $\lambda_n$ ) <sub>۳</sub>	
۱۴,۱۳۲	۱۴,۱۳۲	۱۴,۱۳۲	۱۴,۱۷۷	۱۴,۸۹۱	( $\lambda_n$ ) <sub>۴</sub>	
۱۷,۲۶۹	۱۷,۲۶۹	۱۷,۲۷۴	۱۷,۴۰۴	۱۷,۷۹۰	( $\lambda_n$ ) <sub>۵</sub>	

جدول ۴. آزمون همگرایی پنج  $\lambda_n$  اول - تیر دوسرگیردار تیموشنکو.

تعداد توابع شکل						$\lambda_n$
۱۵	۱۳	۱۰	۷	۵		
۴,۷۲۹	۴,۷۲۹	۴,۷۲۹	۴,۷۲۹	۴,۷۲۹	( $\lambda_n$ ) <sub>۱</sub>	
۷,۸۴۹	۷,۸۴۹	۷,۸۴۹	۷,۸۴۹	۷,۸۶۴	( $\lambda_n$ ) <sub>۲</sub>	
۱۰,۹۸۵	۱۰,۹۸۵	۱۰,۹۸۵	۱۰,۹۸۹	۱۱,۱۵۸	( $\lambda_n$ ) <sub>۳</sub>	
۱۴,۱۱۷	۱۴,۱۱۷	۱۴,۱۱۷	۱۴,۲۶۴	۱۵,۸۸۵	( $\lambda_n$ ) <sub>۴</sub>	
۱۷,۲۴۴	۱۷,۲۴۴	۱۷,۲۵۴	۱۸,۴۰۵	۵۵,۲۹۸	( $\lambda_n$ ) <sub>۵</sub>	

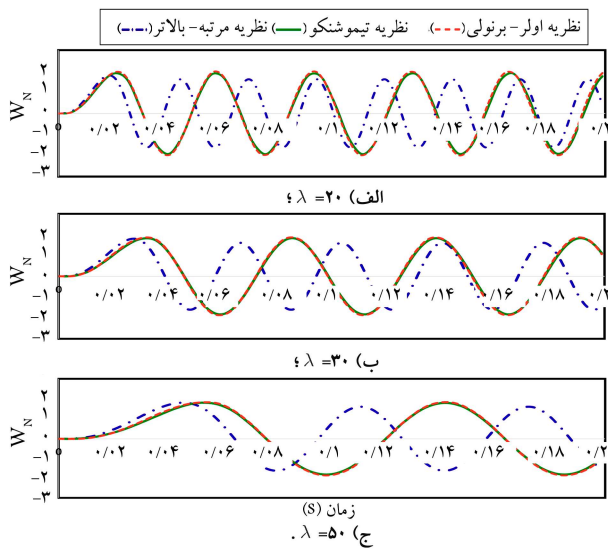
جدول ۹. مقایسه‌ی ۵ بسامد بدون بُعد اول تیر دو سر ساده‌ی تیموشنسکو برای مقادیر مختلف  $L/h$ .

$h/L$								$\lambda_n$
۰,۱		۰,۰۵		۰,۰۱		۰,۰۰۵		
مطالعه‌ی حاضر	LS	مطالعه‌ی حاضر	LS	مطالعه‌ی حاضر	LS	مطالعه‌ی حاضر	LS*	
۳,۱۲۸	۳,۱۱۶	۳,۱۳۸	۳,۱۳۵	۳,۱۴۱	۳,۱۴۱	۳,۱۴۲	۳,۱۴۲	( $\lambda_n$ ) <sub>۱</sub>
۶,۱۷۴	۶,۰۹۱	۶,۲۵۶	۶,۲۳۱	۶,۲۸۲	۶,۲۸۱	۶,۲۸۳	۶,۲۸۳	( $\lambda_n$ ) <sub>۲</sub>
۹,۰۵۹	۸,۸۴۱	۹,۳۳۲	۹,۲۵۵	۹,۴۲۱	۹,۴۱۸	۹,۴۲۴	۹,۴۲۳	( $\lambda_n$ ) <sub>۳</sub>
۱۱,۷۲۴	۱۱,۳۴۳	۱۲,۳۴۹	۱۲,۱۸۱	۱۲,۵۵۸	۱۲,۵۴۹	۱۲,۵۶۴	۱۲,۵۶۲	( $\lambda_n$ ) <sub>۴</sub>
۱۴,۱۴۱	۱۳,۶۱۳	۱۵,۲۸۲	۱۴,۹۹۳	۱۵,۶۹۰	۱۵,۶۷۵	۱۵,۷۰۰	۱۵,۷۰۰	( $\lambda_n$ ) <sub>۵</sub>

\* Lee & Schultz (LS) [۲۴]

جدول ۱۰. مقایسه‌ی ۵ بسامد بدون بُعد اول تیر دو سر گیردار تیموشنسکو برای مقادیر مختلف  $L/h$ .

$h/L$								$\lambda_n$
۰,۱		۰,۰۵		۰,۰۱		۰,۰۰۵		
مطالعه‌ی حاضر	LS							
۴,۰۹۹	۴,۵۸۰	۴,۶۹۶	۴,۶۹۰	۴,۷۲۹	۴,۷۲۸	۴,۷۳۰	۴,۷۳۰	( $\lambda_n$ ) <sub>۱</sub>
۷,۴۲۹	۷,۳۳۱	۷,۷۳۸	۷,۷۰۴	۷,۸۴۸	۷,۸۴۷	۷,۸۵۲	۷,۸۵۲	( $\lambda_n$ ) <sub>۲</sub>
۱۰,۰۷۶	۹,۸۵۶	۱۰,۷۳۴	۱۰,۶۴۰	۱۰,۹۸۵	۱۰,۹۸۰	۱۰,۹۹۳	۱۰,۹۹۲	( $\lambda_n$ ) <sub>۳</sub>
۱۲,۵۱۱	۱۲,۱۴۵	۱۳,۶۵۰	۱۳,۴۶۱	۱۴,۱۱۷	۱۴,۱۰۶	۱۴,۱۲۲	۱۴,۱۲۹	( $\lambda_n$ ) <sub>۴</sub>
۱۴,۷۳۱	۱۴,۲۳۲	۱۶,۴۷۰	۱۶,۱۰۹	۱۷,۲۴۴	۱۷,۲۲۵	۱۷,۲۷۰	۱۷,۲۶۵	( $\lambda_n$ ) <sub>۵</sub>



شکل ۲. تاریخچه‌ی زمانی جابجایی نرمال شده وسط دهانه‌ی تیر دو سر ساده تحت بارگذاری جرم متحرک به ازاء  $۰,۰۵$   $V_n = ۰,۱۵$  و  $M_n = ۰,۱۵$ .

مطابق شکل‌های ۲ و ۳، با افزایش مقدار لاغری تیر، تغییرشکل نقطه‌ی وسط دهانه‌ی تیرها خصوصاً تیر دو سر گیردار کاهش می‌یابد. نکته‌ی جالب توجه در تیر اولر - برنولی این است که مطابق انتظار پاسخ‌ها با افزایش لاغری تغییر چندانی نداشته‌اند، زیرا همان‌گونه که اشاره شد، اثرات ناشی از پرش در مقطع تیر لحاظ نمی‌شود. از طرفی، با مقایسه میان پاسخ‌های بیشینه‌ی نظریه‌های مختلف مشاهده می‌شود که با افزایش لاغری، مقادیر بیشینه‌ی جابجایی نرمال شده وسط دهانه‌ی تیرها ( $W_{\max}^N$ ) به یکدیگر نزدیک‌تر می‌شوند. علت این امر ناشی از کم رنگ‌شدن

شعاع زیراپسیون مقطع حول تار خنثی است. در نظر گرفته شده است. مقادیر  $E$ ,  $G$ ,  $\rho$  و  $K_s$  مشابه مقادیر متناظر در مثال ۱. فرض شده است. از طرفی، پارامترهای مربوط به مشخصات جرم متحرک به صورت نرمال شده و بدون بُعد تعریف شده است. به این صورت که جرم و سرعت نرمال شده‌ی جسم به صورت نسبی ثابت از جرم و سرعت واقعی جسم به جرم کل و سرعت بحرانی سیستم بیان می‌شود؛ به عبارت دیگر،  $V_n = V/V' \rho A L$  و  $M_n = M_M / \rho A L$ .  $V'$  دارای مقدار ثابتی است که طبق رابطه‌ی  $۳۰$  محاسبه می‌شود:

$$V' = \frac{\pi}{L} \sqrt{\frac{EI}{\rho A}} \quad (30)$$

در اینجا، به منظور بیان رفتار دینامیکی تیرها، نمودارهای تاریخچه‌ی زمانی تغییرشکل تیرها در اثر عبور جرم متحرک با  $۰,۰۵$   $M_n = ۰,۱۵$  و  $V_n = ۰,۱۵$  مورد بررسی قرار گرفته است. ازین‌رو، به عنوان درنظر گرفتن بحرانی ترین حالت ممکن در تغییرشکل تیرها، نمودارهای جابجایی نرمال شده هستند. همچنین، سرعت بحرانی  $V'$  دارای رابطه‌ی زمانی  $V' = V^{dyn}$  است. در شکل‌های ۲ و ۳ ارائه شده است. در شکل‌های مذکور،  $W^N$  به صورت رابطه‌ی  $۳۱$  تعریف و بدون بُعد می‌شود:

$$W^N = \frac{W^{dyn}}{W_{\max}^{st}} \quad (31)$$

که در آن،  $W^{dyn}$  جابجایی دینامیکی وسط دهانه‌ی تیر در اثر عبور جرم متحرک و  $W_{\max}^{st}$  بیشینه‌ی جابجایی استاتیکی تیر اولر - برنولی بر اثر بار متمرکز  $M_M g$  در محل وسط دهانه‌ی تیر است، که این مقادیر برای تیرهای دو سر ساده و دو سر گیردار به ترتیب برابر با  $M_M g L^3 / ۱۹۲ EI$  و  $M_M g L^3 / ۴۸ EI$  هستند.

جدول ۱۱. مقایسه‌ی مقادیر بیشینه‌ی جابجایی نرمال شده ( $W_{\max}^N$ ) وسط دهانه‌ی تیر دو سر ساده به ازاء لاغری‌های مختلف.

تمیوشنکو				اولر- برنولی				$\lambda = L/r$	
مرتبه - بالاتر		مرتبه - بالاتر		اختلف		اختلف			
مطالعه‌ی اختلاف	RKPM	مطالعه‌ی اختلاف	RKPM	مطالعه‌ی اختلاف	[۱۴] RKPM	مطالعه‌ی اختلاف	حاضر		
(%)	حاضر	(%)	حاضر	(%)	حاضر	(%)	حاضر		
۳,۲۷	۱,۹۸۸	۱,۹۲۵	۰,۸۳	۱,۹۰۹	۱,۹۲۵	۰,۲۸	۱,۸۰۰	۱,۷۹۵	۲۰
۰,۴۸	۱,۸۶۹	۱,۸۶۰	۱,۴۰	۱,۸۲۹	۱,۸۵۵	۰,۲۸	۱,۸۰۰	۱,۷۹۵	۳۰
۰,۴۸	۱,۸۲۹	۱,۸۲۰	۰,۷۲	۱,۸۰۲	۱,۸۱۵	۰,۳۹	۱,۸۰۲	۱,۷۹۵	۵۰

جدول ۱۲. مقایسه‌ی مقادیر بیشینه‌ی جابجایی نرمال شده ( $W_{\max}^N$ ) وسط دهانه‌ی تیر دو سر گیردار به ازاء لاغری‌های مختلف.

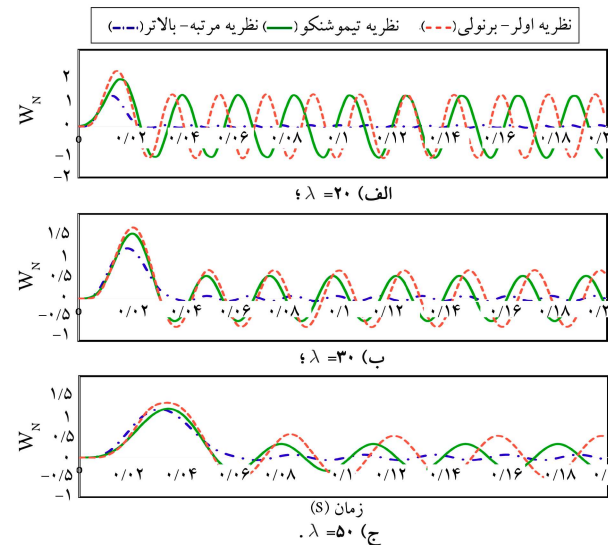
تمیوشنکو				اولر- برنولی				$\lambda = L/r$	
مرتبه - بالاتر		مرتبه - بالاتر		اختلف		اختلف			
مطالعه‌ی اختلاف	RKPM	مطالعه‌ی اختلاف	RKPM	مطالعه‌ی اختلاف	[۱۴] RKPM	مطالعه‌ی اختلاف	حاضر		
(%)	حاضر	(%)	حاضر	(%)	حاضر	(%)	حاضر		
۰,۷۰	۲,۱۵۵	۲,۱۴۰	۰,۳۸	۱,۸۲۲	۱,۸۲۵	۰,۱۷	۱,۱۸۸	۱,۱۹۰	۲۰
۰,۰۶	۱,۶۷۴	۱,۶۷۵	۱,۳۲	۱,۵۳۰	۱,۵۱۰	۰,۳۴	۱,۱۸۶	۱,۱۹۰	۳۰
۱,۶۱	۱,۴۰۲	۱,۴۲۵	۲,۴۳	۱,۲۹۴	۱,۳۴۰	۰,۰۸	۱,۱۸۶	۱,۱۸۵	۵۰

اولر- برنولی، تمیوشنکو و مرتبه - بالاتر تحت شرایط تکیه‌گاهی دو سر ساده و دو سر گیردار با نتایج متناظر به دست آمده از روش عددی و شناخته شده بدون ایمان [۱۶] به ترتیب در جدول‌های ۱۱ و ۱۲ ارائه شده است.

همان‌گونه که از نتایج جدول‌های ۱۱ و ۱۲ مشخص است، بیشینه‌ی پاسخ‌های به دست آمده در این مطالعه هم خوانی قابل توجهی با نتایج حاصل از روش عددی RKPM دارد. مطابق این جدول‌ها، درصد اختلاف میان نتایج مطالعه‌ی حاضر و نتایج حاصل از روش RKPM معادل مقداری کمتر از ۴٪ است، که این موضوع بیان‌گر دقت روش حاضر در تعیین پاسخ‌های دینامیکی تیرها تحت اثر جرم متحرک است. از سوی دیگر، نکته‌ی شایان ذکر در تحلیل دینامیکی تیرها با استفاده از این روش این است که با بکارگیری تعداد محدودتابع شکل می‌توان به پاسخ مطلوب رسید. به طوری که نتایج ارائه شده در جدول‌های ۱۱ و ۱۲، فقط با استفاده از ۳ تابع شکل به دست آمده‌اند. این مسئله، خود دلایلی بر کارایی و سادگی روش پیشنهادی است.

#### ۴. نتیجه‌گیری

در این مطالعه از یک روش نیمه تحلیلی برای بررسی ارتعاش و رفتار دینامیکی تیرهای مختلف استفاده شده است. از این روش، معادلات حاکم بر ارتعاش تیرهای اولر- برنولی، تمیوشنکو و مرتبه - بالاتر تحت اثر جرم متحرک بر مبنای اصل همیلتون به دست آمده است. سپس به منظور تجزیه‌ی مکانی و زمانی معادلات، به ترتیب از یک روش ساده و کارآمد به نام چندجمله‌ی‌های متعامد مفسر و یک روش عددی قدرتمند در فضای حالت به نام ماتریس نمایی استفاده شده است. با بررسی و مقایسه‌ی نتایج به دست آمده برای سامدهای بدون بعد ارتعاش آزاد تیر در هر ۳ نظریه با نتایج مشابه ارائه شده توسط دیگر پژوهشگران ملاحظه شده است که روش حاضر، سرعت



شکل ۳. تاریچه زمانی جابجایی نرمال شده وسط دهانه تیر دو سر گیردار تحت بارگذاری جرم متحرک به ازاء ۵ و ۱۵ و  $V_n = ۰, ۱, ۱, ۵$ .

اثرات کرنش برشی در تیرهای شکل پذیر برشی (تمیوشنکو و مرتبه - بالاتر) است چرا که با افزایش لاغری تیر و فرض ثابت بودن طول تیر، ساعع زیرسیون کاهش یافته و به تبع آن، ارتفاع تیر کوچک‌تر شده است. از همین رو ملاحظه می‌شود که بیشترین انطباق میان پاسخ‌های بیشینه‌ی نظریه‌های مختلف در  $\lambda = ۵۰ = \lambda_{\text{رخ داده است}}$  (شکل‌های ۲ ج و ۳ ج).

علاوه بر این، به منظور صحبت‌سنگی نتایج حاصل از تحلیل دینامیکی تیرهای  $W_{\max}^N$  مورد بررسی تحت بارگذاری جرم متحرک، مقایسه‌ی مقادیر مربوط به  $W_{\max}^N$  تیرهای

هم خوانی قابل توجهی دارد. در نهایت می توان گفت، روش پیشنهادی در این مطالعه، روشی ساده و دقیق، در عین حال جامع برای ارزیابی ارتعاش و رفتار دینامیکی تیرهای مختلف تحت شرایط مرزی گوناگون و بارگذاری خارجی متفاوت است.

بالای همگرایی و دقت مناسب دارد. همچنین از بررسی نمودارهای تاریخچه‌ی زمانی و بیشینه‌ی پاسخ‌های دینامیکی تیر مشخص شده است که این نتایج با نتایج مشابه حاصل از مطالعه دیگر پژوهشگران، علی‌رغم استفاده از تعداد کم توابع شکل،

## پانوشت‌ها

1. Galerkin
2. Rayleigh-Ritz
3. discrete element technique (DET)
4. Euler-Bernoulli beam
5. differential quadrature method (DQM)
6. differential transforms method (DTM)
7. Timoshenko beam
8. adomian decomposition method (ADM)
9. modified adomian decomposition method (MADM)
10. variational iteration method (VIM)
11. characteristic orthogonal polynomials (COPs)
12. higher-order beam
13. Hamilton principle
14. Gram-Schmidt
15. Chebyshev polynomials
16. reproducing kernel particle method (RKPM)

## منابع (References)

1. Chatterjee, P.K., Datta, T.K. and Surana, C.S. "Vibration of continuous bridges under moving vehicles", *Journal of Sound and Vibration*, **169**(2), pp. 619-632 (1994).
2. Bilello, C., Bergman, L.A. and Kuchma, D. "Experimental investigation of a small-scale bridge model under a moving mass", *Journal of Structural Engineering, ASCE*, **130**(5), pp. 799-804 (2004).
3. Ouyang, H. "Moving load dynamic problems: A tutorial (with a brief overview)", *Mech. Syst. Signal Process*, **25**(6), pp. 2039-2060 (2011).
4. Frýba, L., *Vibration of Solids and Structures Under Moving Loads*, Thomas Telford, London (1999).
5. Akin, J.E. and Mofid, M. "Numerical solution for response of beams with moving mass", *Journal of Structural Engineering, ASCE*, **115**(1), pp. 120-131 (1989).
6. Wang, X. and Bert, C.W. "A new approach in applying differential quadrature to static and free vibrational analyses of beams and plates", *Journal of Sound and Vibration*, **162**(3), pp. 566-572 (1993).
7. Wang, X., Bert, C.W. and Striz, A.G. "Differential quadrature analysis of deflection, buckling, and free vibration of beams and rectangular plates", *Computers & Structures*, **48**(3), pp. 473-479 (1993).
8. Yang, Y.B., Yau, J.D. and Hsu, L.C. "Vibration of simple beams due to trains moving at high speeds", *Eng. Struct.*, **19**(11), pp. 936-944 (1997).
9. Chen, C.K. and Ho, S.H. "Transverse vibration of rotating twisted Timoshenko beams under axial loading using differential transform", *International Journal of Mechanical Sciences*, **41**(11), pp. 1339-1356 (1999).
10. Lai, H.L., Hsu, J.C. and Chen, C.K. "An innovative eigenvalue problem solver for free vibration of Euler-Bernoulli beam by using the Adomian Decomposition Method", *Computers and Mathematics with Applications*, **56**(12), pp. 3204-3220 (2008).
11. Hsu, J.C., Lai, H.Y. and Chen, C.K. "An innovative eigenvalue problem solver for free vibration of Timoshenko beams by using the Adomian Decomposition Method", *Journal of Sound and Vibration*, **325**(1-2), pp. 451-470 (2009).
12. Liu, Y. and Gurram, C.S. "The use of he's variational iterationmethod for obtaining the free vibration of an Euler-Beam beam", *Matematical and Computer Modelling*, **50**(11-12), pp. 1545-1552 (2009).
13. Bhat, R.B. "Natural frequencies of rectangular plates using characteristic orthogonal polynomials in Rayleigh-Ritz method", *Journal of Sound and Vibration*, **102**(4), pp. 493-499 (1985).
14. Bhat, R.B. "Plate deflections using orthogonal polynomials", *J. Eng. Mech., ASCE*, **111**(11), pp. 1301-1309 (1985).
15. Bhat, R.B. "Transverse vibrations of a rotating uniform cantilever beam with tip mass as predicted by using beam characteristic orthogonal polynomials in the Rayleigh-Ritz method", *Journal of Sound and Vibration*, **105**(2), pp. 199-210 (1986).
16. Liew, K.M., Hung, K.C. and Lim, M.K. "Vibration of mindlin plates using boundary characteristic orthogonal polynomials", *Journal of Sound and Vibration*, **182**(1), pp. 77-90 (1995).
17. Ahmadi, M. and Nikkhoo, A. "Utilization of characteristic polynomials in vibration analysis of non-uniform beams under a moving mass excitation", *Applied Mathematical Modelling*, **38**(7-8), pp. 1-11 (2013).
18. Hassanabadi, M.E., Nikkhoo, A., Amiri, J.V. and Mehri, B. "A new orthonormal polynomial series expansion method in vibration analysis of thin beams with non-uniform thickness", *Applied Mathematical Modelling*, **37**(18-19), pp. 8543-8556 (2013).
19. Kiani, K., Nikkhoo, A. and Mehri, B. "Prediction capabilities of classical and shear deformable beam theories excited by a moving mass", *Journal of Sound and Vibration*, **320**(3), pp. 632-648 (2009).

- [زندگی ارتقا یافته با اسپرینگر از پژوهش‌های علمی...]
- 20. Wang, C.M., Reddy, J.N. and Lee, K.H., *Shear Deformable Beams and Plates*, Elsevier Science Ltd, Oxford (2000).
  - 21. Chakraverty, S., *Vibration of plates*, CRC Press/Taylor & Francis Group, Boca Raton, FL (2009).
  - 22. Nikkhoo, A., Rofooei, F.R. and Shadnam, M.R. "Dynamic behavior and modal control of beams under moving mass", *Journal of Sound and Vibration*, **306**(3-5), pp. 712-724 (2007).
  - 23. Brogan, W.L., *Modern Control Theory*, Prentice-Hall, New Jersey (1991).
  - 24. Lee, J. and Schultz, W.W. "Eigenvalue analysis of timoshenko beams and axisymmetric mindlin plates by the pseudospectral method", *Journal of Sound and Vibration*, **269**(3-5), pp. 609-621 (2004).